

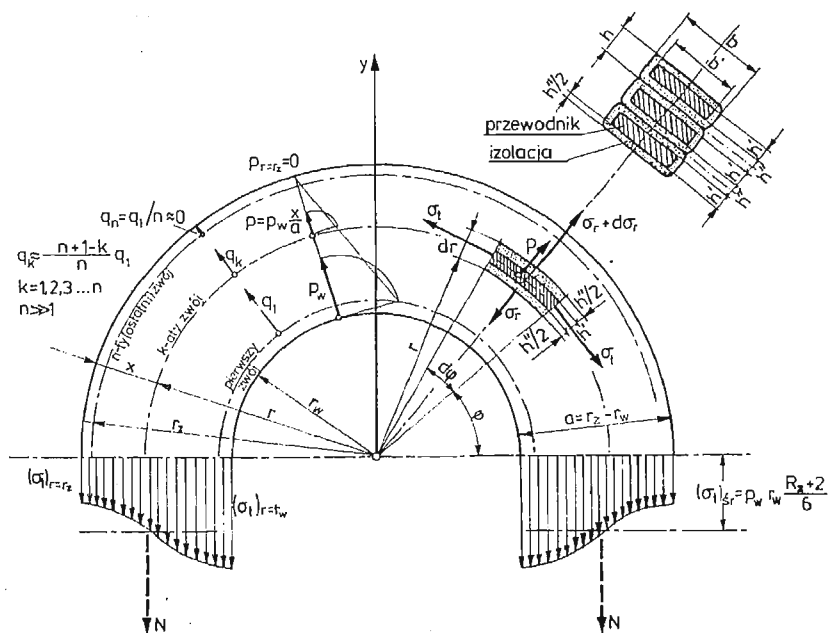
## OKREŚLENIE NAPRĘŻEŃ W CEWCE TRANSFORMATORA ROZCIĄGANEJ NA SKUTEK DZIAŁANIA PROMIENIOWYCH SIŁ ELEKTRODYNAMICZNYCH

TADEUSZ GAŁKIEWICZ

Politechnika Łódzka

### Wprowadzenie

W pracy wyprowadzone zostały wzory na naprężenia występujące w cewce transformatora narażonej na działanie elektrodynamicznych odśrodkowo skierowanych sił zwarciowych. Wzory podane zostały w wielkościach bezwymiarowych dzięki czemu poszczególne rozwiązania dotyczą nie jednej cewki lecz pewnej grupy cewek. Oryginalnością pracy jest potraktowanie cewki jako jednolitej ortotropowej tarczy pierścieniowej obciążonej siłami objętościowymi zmieniającymi się wg trójkąta (rys. 1).



Rys. 1.

## 1. Wstęp

Uzwojenie transformatora składa się z szeregu ułożonych na sobie współosiowo cewek. W celu zwiększenia intensywności chłodzenia transformatora kolejne cewki tworzące uzwojenie podzielone są międzycewkowymi wstawkami dystansowymi. Uzwojenia dużych transformatorów sprasowane są w kierunku osiowym specjalnymi śrubami osadzonymi w jarzmach rdzenia. W transformatorze są dwa rodzaje uzwojeń, uzwojenia wewnętrzne i zewnętrzne. Cewki tych uzwojeń powinny być tak zaprojektowane aby siły występujące w czasie ewentualnego elektrycznego zwarcia nie powodowały uszkodzeń zwojów. W czasie zwarcia transformatora cewki obciążone są siłami elektrodynamicznymi działającymi na uzwojenie w kierunkach promieniowych i osiowym. Uzwojenia wewnętrzne obciążone są promieniowymi siłami dośrodkowymi, natomiast uzwojenie zewnętrzne — siłami odśrodkowymi.

W niniejszej pracy analizie wytrzymałościowej poddane zostały cewki uzwojeń zewnętrznych tzn. cewki, w których siły dynamiczne działając odśrodkowo powodują rozciąganie zwojów. Analizowano cewki utworzone ze ściśle nawiniętych na siebie zwojów. Przyjęto, że przekrój poprzeczny przewodnika, z którego wykonane jest uzwojenie ma kształt prostokąta o wymiarach  $b' \times h'$ . Przewodnik owinięty jest izolacją o grubości  $h''/2$ , czyli grubość izolacji między kolejnymi przylegającymi do siebie zwojami drutów cewki wynosi  $h''$ , natomiast grubość zwoju  $h = h' + h''$ . W rozważaniach nie uwzględniono występowania naprężeń montażowych wynikających z wstępnego napięcia przewodu i z zakrzywienia przewodu przy nawijaniu cewki.

Wprowadzono oznaczenia:

- $r_w$  — promień wewnętrzny cewki  
 $r_z$  — promień zewnętrzny cewki  
 $r, \varphi$  — współrzędne określające położenie punktu cewki  
 $u$  — przemieszczenie promieniowe punktu cewki  
 $a$  — grubość cewki (rys. 1)  $a = r_z - r_w$   
 $b'$  — szerokość przekroju poprzecznego przewodnika (szerokość drutu)  
 $b$  — wysokość cewki  
 $h'$  — grubość przewodnika (grubość drutu)  
 $h''/2$  — grubość izolacji przewodnika  
 $h''$  — grubość izolacji między drutami kolejnych zwojów cewki  
 $h$  — grubość przewodu (grubość zwoju)  $h = h' + h''$   
 $H$  — względna grubość zwoju odniesiona do grubości drutu  $h'$   
 $n$  — liczba zwojów cewce  
 $E'$  — moduł Younga drutu  
 $E''$  — moduł Younga izolacji

w wielkościach bezwymiarowych

- $R_w = r_w/r_w = 1$   
 $R_z = r_z/r_w$   
 $R = r/r_w$   
 $U = u/r_w$   
 $a/r_w = R_z - 1$   
 $H = h/h' = 1 + h''/h'$   
 $\nu'$  — liczba Poissona drutu  
 $\nu''$  — liczba Poissona izolacji (papieru: przyjęto  $\nu'' = 0$ )

$E_t$  — moduł sprężystości cewki jako całości — w kierunku obwodowym

$E_r$  — moduł sprężystości cewki jako całości — w kierunku promieniowym

$\nu_t, \nu_r$  — odpowiednie liczby Poissona cewki — jako tarczy ortotropowej.

Cewkę potraktowano jako ortotropową tarczę pierścieniową, dla której to tarczy określono (w punkcie 2 niniejszej pracy) zastępcze stałe sprężystości w kierunku obwodowym i promieniowym. Każdej jednostce objętości cewki przyporządkowano pewną elektrodynamiczną siłę promieniową  $p$ . Siłę tę działającą na jednostkę objętości znajdującą się tuż przy wewnętrznej powierzchni cewki oznaczono przez  $p_w$  — czyli  $p_w = p_{r=r_w}$ .

Siłę elektrodynamiczną przypadającą na jednostkę długości pierwszego od środka zwoju oznaczono przez  $q_1$ . Przy dużej liczbie zwojów w cewce można przyjąć, że związek między  $p_w$ ,  $q_1$ ,  $b'$  i  $h$  jest następujący:

$$p_w \approx q_1/(b'h) \quad (1)$$

gdzie:  $b'$  — jest to wysokość pracująca cewki (szerokość przewodnika)

$h$  — grubość zwoju

Przy obliczaniu cewek transformatorowych zakłada się istnienie liniowego rozkładu sił promieniowych. W cewce zewnętrznej największa odśrodkowa siła elektrodynamiczna występuje w pierwszym (wewnętrznym) zwoju. Siła ta maleje na grubości cewki wg trójkąta osiągając w ostatnim ( $n$ -tym, zewnętrznym) zwoju wartość bliską zeru. Zgodnie z rys. 1 i wzorem (1) można przyjąć, że:

$$p = p_w \frac{x}{a} = p_w \frac{r_z - r}{r_z - r_w} = p_w \frac{R_z - R}{R_z - 1} \approx \frac{q_1}{b'h} \frac{R_z - R}{R_z - 1} = \frac{q_1 r_w}{ab'h} (R_z - R), \quad (2)$$

gdzie:  $R = r/r_w$ ,  $R_z = r_z/r_w$ .

W rzeczywistej cewce transformatorowej liczba zwojów  $n \gg 1$ , więc obciążenie  $k$ -tego (licząc od środka cewki) zwoju

$$q_k \approx \frac{n+1-k}{n} q_1, \quad p_k = \frac{q_k}{b'h} \approx \frac{n+1-k}{b'hn} q_1, \quad (3)$$

gdzie:  $k = 1, 2, 3, \dots, n$ .

Siła dynamiczna odśrodkowa działająca na element o wymiarach  $rd\varphi \times dr \times b'$  (rys. 1) wynosi  $dP = prd\varphi drb'$ , gdzie jednostkowa siła objętościowa  $p$  określona jest wzorem (2). Z sumy rzutów sił na oś  $y$  (rys. 1) wynika, że siła normalna w przekroju poprzecznym cewki

$$\begin{aligned} N &= \frac{1}{2} \int \int dP \sin \varphi = \frac{1}{2} \int_0^\pi \int_{r_w}^{r_z} pr d\varphi dr b' \sin \varphi = \\ &= \frac{b'}{2} \int_0^\pi \sin \varphi d\varphi \int_a^0 p_w \frac{x}{a} (r_z - x) (-dx) = p_w r_w \frac{ab'}{6} (R_z + 2) = \\ &= \frac{q_1 r_w^2}{6h} (R_z - 1)(R_z + 2) = q_1 r_w \frac{a}{6h} (R_z + 2) \end{aligned} \quad (4)$$

Średnie naprężenia obwodowe w cewce wynosi:

$$(\sigma_t)_{sr} = \frac{N}{ab'} = \frac{p_w r_w}{6} (R_z + 2) \quad (5a)$$

a w wielkościach bezwymiarowych:

$$(\sigma_t^*)_{sr} = \frac{(\sigma_t)_{sr}}{p_w r_w} = \frac{R_z + 2}{6}. \quad (5b)$$

Jeżeli przyjąć, że siłę normalną  $N$  w przekroju cewki przenoszą wyłącznie druty bez pomocy izolacji — to średnie naprężenie rozciągające w drutach cewki

$$(\sigma'_t)_{sr} = (\sigma_t)_{sr} H = p_w r_w \frac{H}{6} (R_z + 2) = \frac{q_1 r_w}{b' h'} \frac{R_z + 2}{6} = \frac{q_1 r_w}{b' h'} (\sigma_t^*)_{sr} \quad (6)$$

gdzie:  $H = h/h'$ .

## 2. Określenie zastępczych stałych sprężystości

W celu określenia zastępczych stałych sprężystości analizowanej tarczy (wykazującej cechy ortotropii konstrukcyjnej) uwzględniono, że jednostka długości zwoju pod wpływem jednokierunkowego rozciągania średnimi naprężeniami  $\sigma_t$  wydłuży się tyle co jednostka długości drutu poddanego naprężeniom  $\sigma'_t$  — występującym w drucie,

czyli  $\varepsilon_t = \varepsilon'_t$ , stąd  $\sigma'_t/E' = \sigma_t/E_t$ , a ponieważ

$$\sigma'_t = \sigma_t h/h' = \sigma_t H, \text{ więc} \quad (7)$$

$$E_t = E'/H. \quad (8)$$

Gdy zwój rozciągany jest jednokierunkowo wzdłuż jego osi wówczas grubość zwoju zmieni się o  $\Delta h = -\nu_t \varepsilon_t h$ , przy czym grubość drutu dozna zmiany o  $\Delta h' = -\nu' \varepsilon'_t h'$ . Ponieważ w cewkach  $E''/E' \ll 1$ , więc przyjęto, że w rozciągającym przewodzie całą siłę przenosi drut bez udziału izolacji — a zatem  $\sigma'_t = 0$  i  $\Delta h' = 0$ . Z warunków:  $\Delta h = \Delta h' + \Delta h''$ ,  $\varepsilon_t = \varepsilon'_t$  wynika, że:

$$\nu_t = \nu'/H. \quad (9)$$

Jeżeli zwój poddany zostanie jednokierunkowemu poprzecznemu obciążeniu naprężeniami  $\sigma_r$ , to zmiana grubości zwoju wyniesie:

$$\Delta h = \frac{\sigma_r h'}{E'} + \frac{\sigma_r h''}{E''} = \frac{\sigma_r h}{E_r},$$

stąd:

$$E_r = E' \frac{H}{1 + (E'/E'')(H-1)}. \quad (10)$$

Zwój obciążony jednokierunkowo w poprzek naprężeniami  $\sigma_r$  doznaje w kierunku obwodowym jednostkowego odkształcenia  $\varepsilon_t = -\nu_r \varepsilon_r = -\nu_r \sigma_r / E_r$ . Odkształcenie to równe jest odkształceniu drutu, które wynosi  $\varepsilon_t \approx -\nu' \sigma_r / E'$  (pominięto tu oddziaływanie izolacji). Po porównaniu ze sobą wzorów na  $\varepsilon_t$  i po uwzględnieniu związku (10) otrzymano;

$$\nu_r = \nu' \frac{H}{1 + (E'/E'')(H-1)}. \quad (11)$$

W modelu obliczeniowym występuje ortotropia konstrukcyjna, więc jak należało oczekiwać obowiązuje następująca zależność:

$$\nu_t/E_t = \nu_r/E_r. \quad (12)$$

### 3. Rozwiązanie zagadnienia

Cewkę transformatora potraktowano jako tarczę pierścieniową, wykonaną z materiału ortotropowego, obciążoną wyłącznie siłami objętościowymi —  $p$  (na obecnym etapie rozważań nie uwzględniono sił tarcia występujących na powierzchniach styku cewki z wstawkami dystansowymi).

Z sumy rzutów sił działających na element tarczy o wymiarach  $r dp \times dr \times b'$  wynika ogólnie znane równanie różniczkowe:

$$\frac{d\sigma_r}{dr} + \frac{1}{r} (\sigma_r - \sigma_t) = -p, \quad \text{albo} \quad \frac{d}{dr} (r\sigma_r) - \sigma_t = -pr, \quad (13)$$

gdzie:

$\sigma_r$  — są to naprężenia promieniowe w cewce,

$\sigma_t$  — naprężenia obwodowe w modelu zastępczym cewki,

(należy pamiętać, że naprężenie w drucie w kierunku osi drutu wynosi  $\sigma'_t = \sigma_t h/h' = \sigma_t H$ ).

Po wykorzystaniu wzoru (2) otrzymano

$$\frac{d\sigma_r}{dr} + \frac{1}{r} (\sigma_r - \sigma_t) + p_w \frac{r_z - r}{r_z - r_w} = 0. \quad (14)$$

Jest to różniczkowe równanie równowagi wyrażone w naprężeniach chcąc wyrazić je przez przemieszczenia należy uwzględnić, że

$$\sigma_r = \frac{E_r}{1 - \nu_r \nu_t} (\varepsilon_r + \nu_t \varepsilon_t), \quad \sigma_t = \frac{E_t}{1 - \nu_r \nu_t} (\varepsilon_t + \nu_r \varepsilon_r), \quad (15)$$

gdzie:

$$\varepsilon_r = \frac{du}{dr}, \quad \varepsilon_t = \frac{u}{r}. \quad (16)$$

Po wprowadzeniu następujących wielkości bezwymiarowych:

$$U = \frac{u}{r_w}, \quad R = \frac{r}{r_w}, \quad R_w = R_{r=r_w} = 1, \quad R_z = R_{r=r_z} = \frac{r_z}{r_w}, \quad (17)$$

$$E_* = \frac{E_t}{E_r} = \frac{1}{H^2} \left[ 1 + \frac{E'}{E''} (H-1) \right], \quad \alpha = \sqrt{E_*} \quad (18)$$

$$p_* = \frac{p_w r_w}{R_z - 1} \frac{1 - \nu_r \nu_t}{E_r} \quad (19)$$

Otrzymano równanie różniczkowe:

$$\frac{d^2 U}{dR^2} + \frac{1}{R} \frac{dU}{dR} - E_* \frac{U}{R^2} + p_*(R_z - R) = 0 \quad (20)$$

Okazuje się, że postać funkcji  $U$  spełniającej powyższe równanie zależy od wartości parametru  $E_*$  i tak:

A) gdy  $E_* \neq 4$  i  $E_* \neq 9$ , wówczas

$$U = \frac{u}{r_w} = A_1 R^\alpha + A_2 R^{-\alpha} - \frac{P_*}{4-E_*} R_z R^2 + \frac{P_*}{9-E_*} R^3 \quad (21')$$

B) gdy  $E_* = 4$

$$U = B_1 R^2 + B_2 R^{-2} + \frac{P_*}{16} R_z R^2 (1 - 4 \ln R) + \frac{P_*}{5} R^3 \quad (21'')$$

C) gdy  $E_* = 9$

$$U = C_1 R^3 + C_2 R^{-3} + \frac{P_*}{5} R_z R^2 + \frac{P_*}{36} R^3 (6 \ln R - 1) \quad (21''')$$

W powyższych wzorach  $A_1, A_2, B_1, B_2, C_1, C_2$  są to stałe całkowania, które wyznacza się w warunkach brzegowych.

Wprowadzono oznaczenia:

$$\sigma_t^* = \sigma_t / (p_w r_w), \quad \sigma_r^* = \sigma_r / (p_w r_w).$$

Korzystając z zależności (15), (16), (17) bezwymiarowe naprężenia obwodowe  $\sigma_t^*$  wyrazić można przez  $E_*$ ,  $R_z$  i  $R$  w sposób następujący

$$\sigma_t^* = \frac{\sigma_t}{p_w r_w} = \frac{E_t}{p_w r_w (1 - \nu_r \nu_t)} \left( \frac{U}{R} + \nu_r \frac{dU}{dR} \right) = \frac{E_*}{R_z - 1} \xi(R). \quad (22)$$

Postać funkcji  $\xi(R)$  zależy od parametru  $E_*$

A) gdy  $E_* \neq 4$  oraz  $E_* \neq 9$  wówczas:

$$\begin{aligned} \xi(R) = & \frac{A_1}{p_*} (1 + \alpha \nu_r) R^{\alpha-1} + \frac{A_2}{p_*} (1 - \alpha \nu_r) R^{-\alpha-1} - \frac{1}{4-E_*} (1 + 2\nu_r) R_z R + \\ & + \frac{1}{9-E_*} (1 + 3\nu_r) R^2 \end{aligned} \quad (23')$$

B) gdy  $E_* = 4$  wówczas:

$$\begin{aligned} \xi(R) = & \frac{B_1}{p_*} (1 + 2\nu_r) R + \frac{B_2}{p_*} (1 - 2\nu_r) R^{-3} + \frac{1}{16} [(1 - 2\nu_r) - 4(1 + 2\nu_r) \ln R] R_z R + \\ & + \frac{1}{5} (1 + 3\nu_r) R^2 \end{aligned} \quad (23'')$$

C) gdy  $E_* = 9$  wówczas:

$$\begin{aligned} \xi(R) = & \frac{C_1}{p_*} (1 + 3\nu_r) R^2 + \frac{C_2}{p_*} (1 - 3\nu_r) R^{-4} + \frac{1}{5} (1 + 2\nu_r) R_z R + \\ & + \frac{1}{36} [-(1 - 3\nu_r) + (1 + 3\nu_r) 6 \ln R] R^2 \end{aligned} \quad (23''')$$

Bezwymiarowe naprężenia promieniowe  $\sigma_r^*$  wynoszą

$$\sigma_r^* = \frac{\sigma_r}{p_w r_w} = \frac{E_r}{p_w r_w (1 - \nu_r \nu_t)} \left( \frac{dU}{dR} + \nu_t \frac{U}{R} \right) = \frac{1}{R_z - 1} \psi(R) \quad (24)$$

Postać funkcji  $\psi(R)$  zależy od wartości parametru  $E_*$ :

A) gdy  $E_* \neq 4$  i  $E_* \neq 9$  wówczas

$$\psi(R) = \frac{A_1}{p_*} (\alpha + \nu_t) R^{\alpha-1} + \frac{A_2}{p_*} (-\alpha + \nu_t) R^{-\alpha-1} - \frac{1}{4-E_*} (2 + \nu_t) R_z R + \frac{1}{9-E_*} (3 + \nu_t) R^2 \quad (25')$$

B) gdy  $E_* = 4$ , wówczas

$$\psi(R) = \frac{B_1}{p_*} (2 + \nu_t) R + \frac{B_2}{p_*} (-2 + \nu_t) R^{-3} + \frac{1}{16} [(-2 + \nu_t) - (2 + \nu_t) 4 \ln R] R_z R + \frac{1}{5} (3 + \nu_t) R^2 \quad (25'')$$

C) gdy  $E_* = 9$ , wówczas

$$\psi(R) = \frac{C_1}{p_*} (3 + \nu_t) R^2 + \frac{C_2}{p_*} (-3 + \nu_t) R^{-4} + \frac{1}{5} (2 + \nu_t) R_z R + \frac{1}{36} [6(3 + \nu_t) \ln R + (3 - \nu_t)] R^2 \quad (25''')$$

#### 4. Określenie stałych całkowania

Dla rozważanych tu cewek transformatorowych przyjęto następujące warunki brzegowe:

$$\begin{aligned} (\sigma_r)_{r=r_w} = 0 & \text{ — lub w wielkościach bezwymiarowych } (\sigma_r^*)_{R=R_w=1} = 0 \\ (\sigma_r)_{r=r_z} = 0 & \text{ — lub w wielkościach bezwymiarowych } (\sigma_r^*)_{R=R_z} = 0 \end{aligned} \quad (26)$$

Po wykorzystaniu tych warunków okazało się, że:

A) gdy  $E_* \neq 4$  i  $E_* \neq 9$  wówczas:

$$\begin{aligned} \frac{A_1}{p_*} &= \frac{1}{(\alpha + \nu_t)(R_z^{2\alpha} - 1)} \left[ \frac{2 + \nu_t}{4 - E_*} (R_z^{\alpha+3} - R_z) - \frac{3 + \nu_t}{9 - E_*} (R_z^{\alpha+3} - 1) \right] \\ \frac{A_2}{p_*} &= \frac{1}{(-\alpha + \nu_t)(R_z^{2\alpha} - 1)} \left[ \frac{2 + \nu_t}{4 - E_*} (R_z^{2\alpha+1} - R_z^{\alpha+3}) - \frac{3 + \nu_t}{9 - E_*} (R_z^{2\alpha} - R_z^{\alpha+3}) \right] \end{aligned} \quad (27')$$

B) gdy  $E_* = 4$ , wówczas:

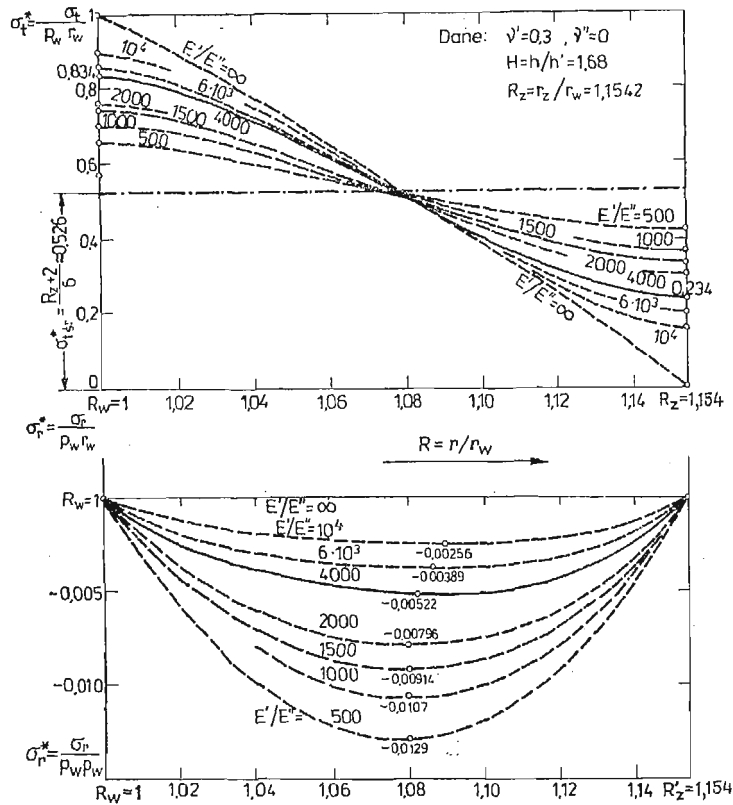
$$\begin{aligned} \frac{B_1}{p_*} &= \frac{1}{(2 + \nu_t)(R_z^4 - 1)} \left[ -\frac{2 + \nu_t}{16} R_z (R_z^4 - 1) + \frac{2 + \nu_t}{4} R_z^2 \ln R_z - \frac{3 + \nu_t}{5} (R_z^5 - 1) \right] \\ \frac{B_2}{p_*} &= \frac{R_z^4}{(-2 + \nu_t)(R_z^4 - 1)} \left[ -\frac{2 + \nu_t}{4} R_z \ln R_z + \frac{3 + \nu_t}{5} (R_z - 1) \right] \end{aligned} \quad (27'')$$

C) gdy  $E_* = 9$ , wówczas:

$$\begin{aligned} \frac{C_1}{p_*} &= \frac{1}{(3 + \nu_t)(R_z^6 - 1)} \left[ -\frac{2 + \nu_t}{5} R_z (R_z^5 - 1) - \frac{3 + \nu_t}{6} R_z^6 \ln R_z - \frac{3 - \nu_t}{36} (R_z^6 - 1) \right] \\ \frac{C_2}{p_*} &= \frac{R_z^6}{(-3 + \nu_t)(R_z^6 - 1)} \left[ -\frac{2 + \nu_t}{5} (R_z - 1) + \frac{3 + \nu_t}{6} \ln R_z \right] \end{aligned} \quad (27''')$$

### 5. Określenie rzeczywistych naprężeń występujących w drutach zwojów cewki

Po określeniu stałych całkowania funkcje  $\sigma_r^*$ (22) i  $\sigma_r^*$ (24) przedstawić można w postaci wykresów. Przebieg funkcji zależy od parametrów  $R_z$ ,  $H$ ,  $E_*$ ,  $\nu_r$ ,  $\nu_t$ , a więc od  $r_z$ ,  $r_w$ ,  $h'$ ,  $h''$ ,  $E'$ ,  $E''$ ,  $\nu'$ ,  $\nu''$ . Wykresy takie zostały wykonane przykładowo dla cewek, dla których  $\nu' = 0,3$ ,  $\nu'' = 0$ ,  $H = h/h' = 1,68$ ,  $R_z = 1,154$ ,  $E'/E'' = 500, 1000, 1500, 2000, 4000, 6000, 10000, \infty$  i przedstawione na rys. 2.



Rys. 2.

Naprężenia wzdłużne w drucie  $k$ -tego (licząc od środka cewki) zwoju wynoszą:

$$\sigma'_{tk} = p_w r_w H (\sigma'_t)_{R=R_k} \approx \frac{q_1 r_w}{b' h'} (\sigma'_t)_{R=R_k}, \quad k = 1, 2, 3 \dots n. \quad (28)$$

w omawianej tu cewce naprężenia obwodowe mają wartość dodatnią co oznacza, że druty są rozciągane.

Naprężenia poprzeczne w drucie  $k$ -tego zwoju (w cewce są to naprężenia promieniowe)

$$\sigma_{rk} = p_w r_w (\sigma_r^*)_{R=R_k} \approx \frac{q_1 r_w}{b' h'} (\sigma_r^*)_{R=R_k}. \quad (29)$$













## S u m m a r y

DETERMINATION OF STRESSES IN THE TRANSFORMER COIL SUBJECTED TO EXTENSION  
WITH RADIAL ELECTRODYNAMIC

In this paper the stresses in the coil wire and the radial stresses of the coil are determined. The resulting formulas are given in a nondimensional form and so received solutions may be used for some systems of coils.

The original feature of the approach is that the coil is treated as an uniform orthotropic disk. Elastic properties of the disk are determined in sec. 2 of the paper.

*Praca wpłynęła do Redakcji dnia 26 maja 1986 roku.*

---